

§ 10 Charakterisierung periodischer Potentiale

Bspw: $\min \sum u_a x_a$

unter $x_a = \pi_j - \pi_i \quad \forall a = (i, j)$

$l_a \leq x_a + p_a T \leq u_a \quad \forall a$

$0 \leq x_a \leq T-1$

p_a ganzzahlig x_a, π_i reell

Formulierung in
Knotenvariablen π_i
und Periodenoffsets p_a
mit Kantenvariablen
 x_a als Hilfsgrößen

= Formulierung im Potenzialraum

diese ist selbst für Lösbarkeit mit MIP-Solver

10.1 Formulierung im Spannungsraum

↑
genauer: Raum der periodischen Spannungen

Frage: wie kann man periodische Spannungen unabhängig von periodischen Potentialdifferenzen charakterisieren?

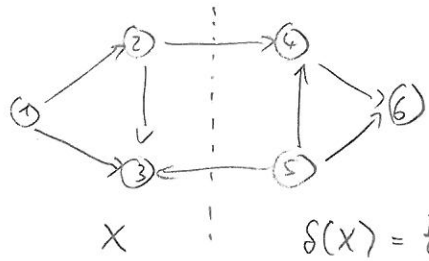
zunächst: aperiodische Spannung = Potentialdifferenzen

10.1 LEMMA: Die Menge der aperiodischen Spannungen eines Digraphen G ist gleich dem Zykelraum von G

Zur Erinnerung an ADMI

Zykelraum = der von den Inzidenzvektoren elementarer Kreise aufgespannte Untervektorraum von $\mathbb{R}^{E(G)}$

Kozykelraum = der von den Inzidenzvektoren von Schnitten $S(X)$ aufgespannte Untervektorraum von $\mathbb{R}^{E(G)}$

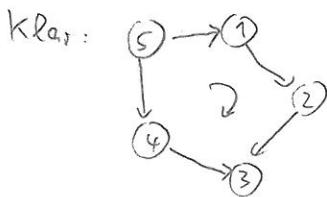


$$S(X) = \{(2,4), (5,3)\} \rightarrow \mathcal{B}(S(X)) = \begin{pmatrix} 0 \\ 0 \\ 0 \\ 1 \\ -1 \\ \vdots \\ 0 \end{pmatrix} \leftarrow \begin{matrix} (\\ (5,3) \end{matrix}$$

Zykelraum und Kozykelraum sind orthogonal zueinander
und $\dim(\text{Zykelraum}) + \dim(\text{Kozykelraum}) = \dim(\mathbb{R}^E)$

Beweis Lemma 10.1:

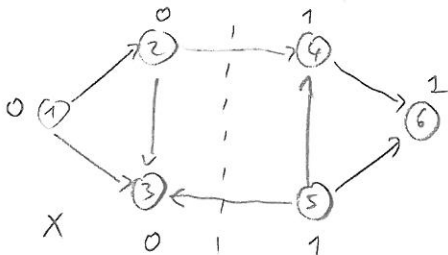
(1): C ungerichteter Kreis und VK C^+ , RK C^- } $\Rightarrow \sum_{(i,j) \in C^+} (\pi_j - \pi_i) - \sum_{(i,j) \in C^-} (\pi_j - \pi_i) = 0$
 π Potenzial



$$\Rightarrow (\pi_2 - \pi_1) + (\pi_3 - \pi_2) - (\pi_3 - \pi_4) - (\pi_4 - \pi_5) + (\pi_1 - \pi_5) = 0$$

(1) \Rightarrow Vektoren von Potenzialdifferenzen sind orthogonal zum Zykelraum

(2): Inzidenzvektoren von Schnitten sind Potenzialdifferenzen



$$\Rightarrow \begin{pmatrix} 0 \\ 0 \\ 1 \\ \vdots \\ -1 \\ \vdots \\ 0 \end{pmatrix} \leftarrow \begin{matrix} (2,4) \\ (5,3) \end{matrix}$$

(3): Potenzialdifferenzen bilden einen Vektorraum

Sei x Potenzialdifferenz zu π und y Potenzialdifferenz zu ξ

$$\Rightarrow (x+y)_{ij} = x_{ij} + y_{ij} = (\pi_j - \pi_i) + (\xi_j - \xi_i) = (\pi + \xi)_j - (\pi + \xi)_i$$

$\Rightarrow x+y$ ist Potenzialdifferenz zu $\pi+b$

entsprechend: λx ist Potenzialdifferenz zu $\lambda\pi$

$$\text{da } (\lambda x)_{ij} = \lambda x_{ij} = \lambda(\pi_j - \pi_i) = (\lambda\pi)_j - (\lambda\pi)_i$$

(1), (2), (3) \Rightarrow Menge der Potenzialdifferenzen = Zykelraum von G

T spannendes Baum von $G \Rightarrow$ Fundamentalkreise bilden Basis des Zykelraums
Fundamentalschritte $\quad \quad \quad$ $\quad \quad \quad$ $\quad \quad \quad$ Zykelraum

$$\text{da } \dim(\text{Zykelraum}) + \dim(\text{Kozykelraum}) = \dim(\mathbb{R}^E) \quad \square$$

gibt periodische Spannungen (= Potenzialdifferenzen periodische Potentiale)
erweisen sich als "nahezu" orthogonal zum Zykelraum

10.2 SATZ (Serafini & Ukovich 89): Sei G ein Digraph, Für $x \in \mathbb{R}^E(G)$ sind folgende Bedingungen äquivalent.

(1) x ist eine periodische Spannung zu T

(2) $x^T \cdot \varphi(C)$ ist ganzzahliges Vielfaches der Taktzeit T
für jeden Kreis C von G

(3) $x^T \cdot \varphi(C)$ ist ganzzahliges Vielfaches der Taktzeit T
für jeden Kreis C aus einer "Baum-Basis" des Zykelraums
Fundamentalkreise eines spannenden
Baumes von G

Beweis:

(1) \Rightarrow (2): Sei π das periodische Potenzial zu x

$$\Rightarrow x^T \cdot \varphi(C) = \sum_{a=(i,j) \in C^+} (\pi_j - \pi_i + p_a \cdot T) - \sum_{a=(i,j) \in C^-} (\pi_j - \pi_i + p_a \cdot T) = \bar{x}^T \cdot \varphi(C) + zT$$

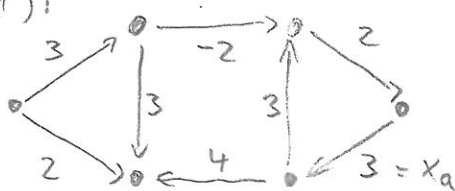
und $\bar{x} =$ Potentialdifferenz auf T und $z = \sum_{a \in C^+} p_a - \sum_{a \in C^-} p_a$

$$\Rightarrow x^T \cdot f(C) = \underbrace{x^T \cdot f(C)} + z \cdot T$$

0, da Potentialdifferenzen orthogonal zu Zykeln sind

(2) \Rightarrow (3): trivial

(3) \Rightarrow (1):

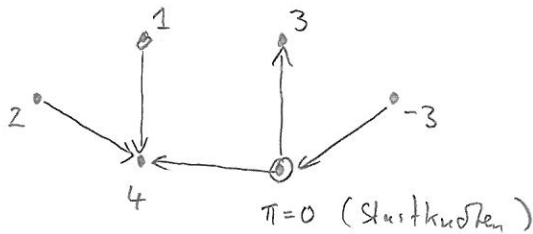


x erfüllt (3) bzgl $T = 4$

und Baum und Baum

Nutze Baum T zur Definition eines Potentials π auf V , so dass

$\pi_j - \pi_i = x_{ij}$ auf Baumkanten gilt (π ist nach Wahl von π_s in Startknoten s eindeutig bestimmt)



Für Nichtbaumkanten (u, v) gilt

$$\sum_{a \in C^+} (\pi_j - \pi_i) - \sum_{a \in C^-} (\pi_j - \pi_i) = 0 \quad \text{für den von } (u, v) \text{ erzeugten Fundamentalkreis } C \quad (\text{Orthogonalität})$$

$$= 0 \quad 0 = \sum_{a \in C^+} (\pi_j - \pi_i) - \sum_{a \in C^-} \pi_j - \pi_i + (\pi_v - \pi_u) =$$

$$= \sum_{a \in C^+} x_a - \sum_{a \in C^-} x_a + \pi_v - \pi_u$$

$$(3) = \gamma_C \cdot T - x_{uv} + \pi_v - \pi_u$$

\uparrow
Vorfaktor für den Fundamentalkreis C
laut (3)

$$\Rightarrow x_{uv} = \pi_v - \pi_u + y_c T$$

$\Rightarrow x$ ist periodisches Potenzial \square

10.1

Aufgabe 10.1 zu einer unlassigen periodischen Spannung x mit Periodenoffset p_a gibt es eine unlassige periodische Spannung y mit Periodenoffset q_a und $q_a = 0$ für alle Baumkanten

\Rightarrow Reduktion der Suche von Periodenoffsets auf die $m-n+1$ Nichtbaumkanten!

Die Charakterisierung in (3) gilt nicht für beliebige Basen

Characterization is not true for arbitrary basis

Outer 3-cycles and inner 5-cycle form a basis
Matrix Γ of incidence vectors is

| | | | | | | | | | | |
|-------|-------|-------|-------|-------|-------|-------|-------|-------|-------|-------|
| | (1,2) | (2,3) | (3,4) | (4,5) | (5,1) | (3,1) | (4,2) | (5,3) | (1,4) | (2,5) |
| C_1 | 1 | 1 | | | | 1 | | | | |
| C_2 | | 1 | | | | | 1 | | | |
| C_3 | | | 1 | | | | | 1 | | |
| C_4 | | | | 1 | | | | | 1 | |
| C_5 | 1 | | | | 1 | | | | | 1 |
| C_6 | | | | | | 1 | 1 | 1 | 1 | 1 |

$$= \frac{1}{2}C_1 + \frac{1}{2}C_2 + \frac{1}{2}C_3 + \frac{1}{2}C_4 + \frac{1}{2}C_5 - \frac{1}{2}C_6$$

Example by B. Gerards

Beispiel zeigt, dass (3) \Rightarrow (2) verloren geht

\Rightarrow man braucht (3) für ganzzahlige Basen

= Basis des Zykelraums aus Kreisen, so dass jeder Kreis als ganzzahlige Linearkombination von Basiskreisen darstellbar ist

10.3 FOLGERUNG (Lichten & Peeters 03): Satz 10.2 bleibt gültig, wenn Eigenschaft (3) für Kreise einer ganzzahligen Basis erfüllt ist

Beweis: (1) \Rightarrow (2) \Rightarrow (3) wie bisher

(3) für SZB-Basis \Rightarrow (3) für Baum-Basis $\stackrel{\text{wie bisher}}{=} 0$ (1)

\uparrow
dann: sei C Kreis aus Baum-Basis

$$\Rightarrow C = \sum_k \lambda_k \psi(C_k)$$

\uparrow \uparrow
SZB-Koeffizienten Kreise aus SZB-Basis

$$\begin{aligned} \Rightarrow x^T \psi(C) &= \sum_k \lambda_k \underbrace{x^T \psi(C_k)}_{= z_k \cdot T} \\ &= \underbrace{\left(\sum_k \lambda_k z_k \right)}_{\text{SZB}} \cdot T \end{aligned}$$

z_k SZB wegen (3) □

Frage: Kann man ganzzahlige Basen charakterisieren?

Dazu: Definieren der Zykelmatrix Γ einer Basis des Zykelraums

= Kanten-Basiskreise Inzidenzmatrix

| | | | | |
|----------|-------|-----|-------|--|
| a_1 | C_1 | ... | C_v | |
| \vdots | | | | |
| a_m | | | | |

\uparrow
 $\psi(C_j)$

$v = m - n + 1$

10.4 LEMMA: Seien Γ_1, Γ_2 zwei nicht-singuläre $v \times v$ Teilmatrizen von Γ
Dann gilt $\det \Gamma_1 = \pm \det \Gamma_2$

Beweis:

(1) Eine Teilmenge Γ' von ν Zeilen von Γ ist maximal linear unabhängig
 \Leftrightarrow die entsprechenden Kanten sind Nichtbaumkanten eines
 spannenden Baumes

\Leftarrow Sei T ein spannender Baum und a_1, \dots, a_ν die Nichtbaumkanten.

Sei Φ die Kanten-Fundamentalkreis Matrix bzgl. T

$\Rightarrow \exists \nu \times \nu$ -Matrix R mit $\Gamma R = \Phi$ (Linearkomb. der Kreise in Φ
 aus Kreisen in Γ)

Teilmatrix von Φ zu a_1, \dots, a_ν ist Einheitsmatrix (nach geeigneter
 Permutation)

$$\text{d.h. } \Gamma' := \begin{pmatrix} a_1 \\ \vdots \\ a_\nu \end{pmatrix} \begin{pmatrix} \Gamma \\ \vdots \\ \Gamma \end{pmatrix} R = \begin{pmatrix} \Phi \\ \vdots \\ \Phi \end{pmatrix} \begin{pmatrix} a_1 \\ \vdots \\ a_\nu \end{pmatrix}$$

$$\Rightarrow \Gamma' R = I \quad \Rightarrow R = (\Gamma')^{-1} \quad \Rightarrow \Gamma' \text{ nicht singular}$$

$\Rightarrow \nu$ Zeilen von Γ' sind (maximal) lin. unabhängig

\Rightarrow Ann. die $n-1$ Zeilen nicht in Γ' enthalten einen Kreis C

$\Rightarrow \mathcal{F}(C)$ eindeutig als LK des Kreises aus Γ darstellbar
 nichttriviale

$$\Rightarrow \exists \text{ Vektor } \lambda_C \text{ mit } \Gamma \cdot \lambda_C = \mathcal{F}(C)$$

Streiche in Γ und $\mathcal{F}(C)$ die Kanten aus $C \rightarrow \Gamma^0, \mathcal{F}(C)^0$

$$\Rightarrow \Gamma \cdot \lambda_C = \mathcal{F}(C) \text{ wird zu } \Gamma^0 \cdot \lambda_C = \mathcal{F}(C)^0 = 0$$

$\Gamma^0 \supseteq \Gamma'$
 $\Rightarrow \lambda_C$ kombiniert die Spalten von Γ' zu 0

Widerspruch zu lin. Unabh. von Γ'

(2) $\det \Gamma_1 = \pm \det \Gamma_2$ für 2 maximal lin. unabh. Kantensubsets Γ_1, Γ_2

(1) \Rightarrow Zeilen aus $\Gamma_1 \stackrel{!}{=} \nu$ Nichtbaumkanten eines spann. Baumes T_1

Sei Φ_1 Kanten-Fundamentalmatrix bzgl. Γ_1

diese Matrizen sind vollständig unimodular

ADM II wenn

10.2

$$\Phi_1 \cdot \Gamma_1 = \Gamma \quad \text{Aufgabe 10.2}$$

$$\begin{array}{c} \Phi_1 \\ \begin{array}{|c|} \hline a_{11} \quad 1 \\ \hline a_{21} \quad 1 \\ \hline \end{array} \end{array} \cdot \begin{array}{c} \Gamma_1 \\ \begin{array}{|c|} \hline a_{11} \\ \hline a_{21} \\ \hline \end{array} \end{array} = \begin{array}{c} \Gamma \\ \begin{array}{|c|} \hline a_{11} \\ \hline a_{21} \\ \hline \end{array} \end{array} \cdot \begin{array}{c} \Gamma_2 \\ \begin{array}{|c|} \hline \Gamma_2 \\ \hline \end{array} \end{array} \rightarrow \Phi_1^0$$

Betrachte in Φ_1 und Γ nur die Zeilen aus Γ_2

$$\Rightarrow \Phi_1^0 \Gamma_1 = \Gamma_2$$

und Γ_1, Γ_2 nicht-singulär

$$\det \Phi_1^0 = \pm 1 \quad \text{da } \Phi_1 \text{ vollst. unimod.} \Rightarrow \det \Gamma_2 = \pm \det \Gamma_1 \quad \square$$

Wegen Lemma 10.4 ist folgende Definition sinnvoll

Sei \mathcal{C} eine Menge von ν Kreisen von G und sei $\Gamma_{\mathcal{C}}$ die Kanten-Kreis-Inzidenzmatrix zu \mathcal{C} . Dann heißt

$\det \mathcal{C} := |\det \Gamma'|$ und Γ' entsteht aus Γ durch Streichen von Zeilen in einem (beliebigen) spannenden Baum von G

die Determinante von \mathcal{C}

10.5 FOLGERUNG: \mathcal{C} ist eine Basis des Zykelraums
 $\Leftrightarrow \det \mathcal{C} \in \mathbb{Z}_+$

Beweis " \Leftarrow " $\det \mathcal{C} \in \mathbb{Z}_+ \Rightarrow \det \mathcal{C} \neq 0 \Rightarrow \Gamma'$ nicht singular

\Rightarrow Spalten von Γ' lin. unabh.

\Rightarrow Spalten von $\Gamma =$ Kreise lin. unabh. \square

" \Rightarrow " Umkehrung des obigen Schlusses $\Rightarrow \det \mathcal{C} \neq 0$

Γ' gez $\Rightarrow |\det \Gamma'| \in \mathbb{Z}_+ \quad \square$

10.6 SATZ (Liebchen 03):

\mathcal{E} ist eine ganzzahlige Basis $\Leftrightarrow \det \mathcal{E} = 1$

Beweis:

Aus LinA bekannt: $|\det B| = 1$ für $\mathbb{Z}\mathbb{Z}$ Matrix $B \Leftrightarrow B^{-1} \mathbb{Z}\mathbb{Z}$ (1)

↑
unimodale Matrizen

Sei C ein beliebiger Kreis von G , sei λ_C der Vektor der Koeffizienten in der Lin. Komb. $\mathbb{Z}\mathbb{Z}$ Basis \mathcal{E} , d.h. $\Gamma_{\mathcal{E}} \cdot \lambda_C = \mathcal{F}(C)$

↑
überbestimmtes Gleichungssystem
m Zeilen, v Spalten u. Variablen

Reicht zu lösen für v lin. unabh. Zeilen

Nehme dafür die Nichtbaumkanten a_1, \dots, a_r bzgl. spann. Raum T

$$\Rightarrow \Gamma_{\mathcal{E}}^0 \lambda_C = \mathcal{F}(C)^0 \quad (2)$$

" \Rightarrow " Sei $\mathcal{E} \mathbb{Z}\mathbb{Z}$ ^{10.5} $\Rightarrow |\det \Gamma_{\mathcal{E}}^0| \in \mathbb{Z}_+$ und $\lambda_C \mathbb{Z}\mathbb{Z}$

Betrachte Kreis C der durch ^(Nichtbaumkante) a_j erzeugt wird $\Rightarrow \mathcal{F}(C)^0 = \begin{pmatrix} 0 \\ 1 \\ 0 \\ \vdots \\ 0 \end{pmatrix} \leftarrow a_j$

$$(2) \Rightarrow \lambda_C = \Gamma_{\mathcal{E}}^{-1} \begin{pmatrix} 0 \\ 1 \\ 0 \end{pmatrix} = \left(\Gamma_{\mathcal{E}}^{-1} \right)_{\text{Spalte } j} \quad \text{ist } \mathbb{Z}\mathbb{Z}$$

↑
 $\mathbb{Z}\mathbb{Z}$

dies gilt für alle $j \Rightarrow \Gamma_{\mathcal{E}}^{-1} \mathbb{Z}\mathbb{Z} \stackrel{(1)}{\Rightarrow} |\det \Gamma_{\mathcal{E}}| = 1$

$$\Rightarrow \det \mathcal{E} = 1$$

" \Leftarrow " Sei $\det \mathcal{E} = 1 \Rightarrow$ (Cramersche Regel) $(\lambda_C)_j = \frac{\det(\Gamma_{\mathcal{E}}^0)^j}{\det \Gamma_{\mathcal{E}}^0} \mathbb{Z}\mathbb{Z} \quad \square$

Beweis: Sei $g \in \mathbb{Z}^n$ und fest

$\Rightarrow x$ wird bestimmt durch Lösung des LP $\min \sum_a w_a x_a$ unter

$$T^T x = T \cdot g, \quad l_a \leq x_a \leq u_a$$

\Rightarrow polynomial (z.B. innere Punkte Methode oder einfache Methode bei speziellen Basen)

$$\left. \begin{array}{l} \det T = 1 \\ T, g \in \mathbb{Z}^n \end{array} \right\} \Rightarrow \text{(Cramer)} \quad x \in \mathbb{Z}^n \quad \square$$

Fragen:

1. Was sind "gute" Basen für dieses MIP $\rightarrow \S 11$
2. Wie sieht die Landschaft der \mathbb{Z}^n -Basen aus?



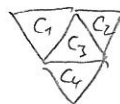
10.8 SATZ Die folgenden Kreisfamilien sind \mathbb{Z}^n -Basen:

(1) die Fundamentalkreise bzgl. eines spannenden Baumes
 "Fundamentale Kreisbasen"

(2) Jede Menge von v Kreisen C_1, C_2, \dots, C_v mit der
 Eigenschaft $C_k \setminus \bigcup_{i=1}^{k-1} C_i \neq \emptyset$
 "schwache Fundamentale Kreisbasen"

(3) Die Menge der Facetten (außer der äußeren) eines
 planaren Graphen

"2-Basis"



Beweis + Überlegung wie man für diese Basen
des Gleichungssystem $\Gamma^T x = Tq$ nach x löst

10.3

= Aufgabe 10.3